



# Investigation of the effect of pulse frequency in gas tungsten arc welding (GTAW) of IN738LC nickel-based superalloy



R. Sahihi, S. M. A. Boutorabi, R. Ashiri\*


School of Metallurgy and Materials Engineering, Iran.

Received 7 October 2025 ; Accepted 1 December 2025

## Abstract

The weldability of the superalloy Inconel 738LC is compromised by its susceptibility to heat-affected zone (HAZ) liquation cracking, a consequence of its high gamma-prime ( $\gamma'$ ) precipitate strength and the formation of low-melting-point eutectic phases. This study investigates the impact of Gas Tungsten Arc Welding (GTAW) current mode—comparing continuous current with pulsed current—on the microstructure, mechanical properties, and overall weldability of IN738LC. Through room-temperature tensile testing, Vickers hardness measurements, and microstructural analysis via optical and electron microscopy, it was demonstrated that pulsed current, particularly at higher frequencies, substantially mitigates liquation cracking and improves joint integrity. The pulsed technique introduces controlled thermal fluctuations that reduce the effective heat input, promoting a transition from columnar to equiaxed dendritic solidification, minimizing interdendritic segregation, and refining the distribution of MC carbides. Consequently, the weld metal exhibits enhanced tensile strength, ductility, and hardness. These findings establish pulsed GTAW as an effective strategy for suppressing cracking and improving the performance of IN738LC welded joints.

**Keywords:** Inconel 738LC, Pulsed current, GTAW, Liquation cracking, HAZ.

 \*Corresponding Author: R. Ashiri, [ashiri@iust.ac.ir](mailto:ashiri@iust.ac.ir).



## بررسی تأثیر فرکانس جریان پالسی در جوشکاری قوسی تنگستن با گاز محافظ (GTAW) سوپرآلیاژ پایه نیکل IN738LC

رضا صحیحی، سید محمدعلی بوتراپی، روح اله عشیری\*

دانشکده مهندسی مواد و متالورژی، دانشگاه علم و صنعت ایران

دریافت مقاله: 1404/07/15؛ پذیرش مقاله: 1404/09/10

### چکیده

سوپرآلیاژ Inconel 738LC به دلیل استحکام ناشی از رسوبات گاما پرایم و حضور فازهای کم ذوب، در جوشکاری مستعد ترک‌های ذوبی در ناحیه متأثر از حرارت است و این موضوع قابلیت اطمینان اتصال را محدود می‌کند. در این پژوهش، اثر جریان در جوشکاری قوس تنگستن با گاز محافظ (GTAW) در دو حالت ثابت و پالسی بر جوش‌پذیری، ریزساختار و خواص مکانیکی این سوپرآلیاژ بررسی شد. برای ارزیابی جوش‌ها، آزمون کشش در دمای محیط و سختی‌سنجی ویکرز انجام شد و ریزساختار به کمک میکروسکوپ الکترونی و نوری مطالعه گردید. نتایج نشان داد پالسی‌کردن به‌ویژه در فرکانس‌های بالاتر—با ایجاد نوسان حرارتی کنترل‌شده و کاهش ورودی حرارت مؤثر، وقوع ترک‌های ذوبی را به‌طور معناداری کاهش داده و کیفیت اتصال را بهبود می‌بخشد. این رویکرد با سوق‌دادن انجماد از دندریتی ستونی به هم‌محور، کاهش جدایش بین‌دندریتی و توزیع یکنواخت‌تر و ریزتر کاربیدهای MC، زمینه بهبود استحکام، شکل‌پذیری و سختی فلز جوش را فراهم می‌کند. در مجموع، GTAW پالسی روشی کارآمد برای مهار ترک‌خوردگی و ارتقای عملکرد اتصال در IN738LC است.

کلمات کلیدی: سوپرآلیاژ اینکونل 738، جوشکاری قوس تنگستن-گاز محافظ، ترک ذوبی، ناحیه HAZ.

\* نویسنده مسئول، پست الکترونیکی: روح اله عشیری، [ashiiri@iust.ac.ir](mailto:ashiiri@iust.ac.ir)

### 1- مقدمه

نقش مهمی در مقاومت به خزش و خستگی حرارتی ایفا می‌کند [1]. با این وجود، مقدار زیاد رسوبات  $\gamma'$  به همراه کاربیدهای MC و بوریدها، جوشکاری این آلیاژ را دشوار ساخته است؛ به‌ویژه به دلیل ترک ذوبی در ناحیه متأثر از حرارت. اهمیت تعمیر قطعات توربین گازی ساخته‌شده از IN738LC از آن جهت است که تولید قطعات جدید بسیار

آلیاژ IN738LC یک سوپرآلیاژ پایه نیکل با استحکام ناشی از رسوب‌سختی است که به دلیل مقاومت عالی در برابر دماهای بالا، اکسیداسیون و خوردگی، به‌طور گسترده در نواحی داغ توربین‌های گازی به کار می‌رود. فاز اصلی تقویت‌کننده این آلیاژ رسوب  $\gamma'$  با ساختار  $L_{12}$  به فرم  $Ni_3(Al,Ti,Ta)$  است که

دادند و مشاهده کردند که جوشکاری پالسی موجب کاهش ریزجدایش عناصر تشکیل دهنده فاز لاوز شده و حساسیت به ترک در فلز جوش را کاهش می دهد. اگرچه مزایای جریان پالسی در کاهش ترک انجمادی در فلز جوش سوپرآلیاژهای مختلف اثبات شده است، اما اثر آن بر آلیاژ IN738LC تاکنون بررسی نشده است. بر این اساس، هدف پژوهش حاضر بررسی جوش پذیری سوپرآلیاژ رسوب سخت شده IN738LC در شرایط جریان ثابت و جریان پالسی با ورودی حرارتی یکسان است. تمرکز اصلی بر تأثیر این دو حالت جریان بر جوش پذیری و حساسیت به ترک انحلال در ناحیه متأثر از حرارت خواهد بود [11]. نتایج پژوهش حاضر نشان می دهد استفاده از جریان پالسی در راستای کاهش حساسیت به تشکیل ترک ذوبی در ناحیه متأثر از حرارت موثر است.

## 2- مواد و روش تحقیق

در این پژوهش قطعات مورد نیاز از قسمت شروود مربوط به پره ثابت توربین گازی MGT-70 تهیه گردید، شکل (1) اشاره به ناحیه ای دارد که قطعات مورد نیاز از آن تهیه شده اند. جدول (1) نیز مربوط به ترکیب شیمیایی فلز پایه و فلز پرکننده بر حسب درصد وزنی می باشد. عملیات حرارتی پیش از جوشکاری در دمای 1180 درجه سانتیگراد به مدت 4 ساعت بر روی این قطعات اعمال گردید. فرایند جوشکاری در این تحقیق توسط دستگاه فرونیوس مدل Magic wave3000 با گاز محافظ آرگون با نرخ جریان 15 لیتر بر دقیقه صورت گرفت.



شکل 1- پره ثابت از جنس سوپرآلیاژ IN738LC مربوط به توربین گازی مدل MGT-70

پرهزینه بوده و افزایش عمر کاری گزینه ای اقتصادی تر محسوب می شود. جوشکاری رایج ترین روش تعمیر است، اما ذوب مرزدانه ای در ناحیه متأثر از حرارت و ترک ناشی از آن یکی از جدی ترین مشکلات است. همچنین، مقدار بالای آلومینیوم و تیتانیوم (مجموع بیش از 6 درصد وزنی) خطر ترک خوردگی ناحیه متأثر از حرارت را افزایش می دهد. این ترک ها معمولاً بر اثر ذوب شدگی ترکیبی رسوبات گاما پرایم بوجود می آیند [2 و 3]. جوش پذیری این آلیاژ تحت تأثیر عوامل متالورژیکی و مکانیکی است. تحقیقات متعددی برای کاهش ترک در این آلیاژ انجام شده است. به عنوان نمونه، اولاً و همکاران [4] نشان دادند که ترکیب فلز پرکننده نقش مهمی در ترک خوردگی انحلالی دارد. آنها دریافتند فلز پرکننده با مقادیر بالای عناصر گاما پرایم-ساز موجب افزایش تنش در ناحیه متأثر از حرارت و در نتیجه تشدید ترک خوردگی می شود، در حالی که استفاده از فلزی با عناصر گاما پرایم-ساز کمتر مانند IN625 جوش پذیری را بهبود می بخشد، انیسی و همکاران نیز در راستای بررسی نقش فلز پرکننده به نتیجه مشابه دست یافتند [5]. منتظری و قائینی [6] نیز تأثیر عملیات حرارتی پیش جوش را بر روی این سوپرآلیاژ بررسی کردند و گزارش دادند که فلز پایه سخت تر تمایل بیشتری به ترک دارد، زیرا توانایی رهایی از تنش های درونی کمتر است. همچنین لردا و همکاران نیز به بررسی اثر عملیات حرارتی پیش از جوشکاری به عنوان عامل تأثیر گذار بر جوش پذیری سوپرآلیاژ IN738LC پرداختند [7] علاوه بر این، پژوهش هایی در زمینه پارامترهای فرایندی انجام شده است. برای مثال، سوپارامانی و همکاران [8] در مطالعه خود روی سوپرآلیاژ UNS No7080 گزارش کردند که جوشکاری پالسی باعث کاهش تشکیل کاربیدهای غنی از کروم در فلز جوش و در نتیجه بهبود جوش پذیری و کاهش حساسیت به ترک انجمادی می شود. همچنین، انباراسان و همکاران [9] نشان دادند که افزایش فرکانس پالس، مقدار فازهای ترد و مضر لاهه را کاهش می دهد. در پژوهشی دیگر، لیو و همکاران [10] مقایسه ای میان جریان ثابت و پالسی در سوپرآلیاژ GH4169 در شرایط ورودی حرارتی یکسان انجام

جدول 1- ترکیب شیمیایی به کار رفته در سوپرآلیژ به کار رفته در این تحقیق (برحسب درصد وزنی).

عنصر	Cr	Co	W	Mo	Nb	Ti	Al	Ta	Ni
STD-IN738LC	15,70	3,00	2,40	1,50	0,60	3,20	3,20	1,50	پایه
	-	-	-	-	-	-	-	-	-
IN738LC	16,30	9,00	2,80	2,00	1,10	3,70	3,70	2,00	پایه
	14,40	8,11	2,50	1,87	0,78	2,91	3,36	1,81	پایه
IN625	21,7	-	-	8,5	3,6	0,2	0,17	-	پایه

در مقابل، نمونه جوشکاری شده با جریان 50 آمپر دارای کیفیت مطلوب تری بوده و فاقد ترک‌های انجمادی و اعوجاج شدید بود. بنابراین، جریان 50 آمپر به عنوان شرایط بهینه انتخاب گردید و نمونه مربوطه برای مراحل بعدی پژوهش مورد استفاده قرار گرفت.



شکل 2- ترک انجمادی در نمونه با جریان 70 آمپر.



شکل 3- مقطع عرضی نمونه های A1, A2.

در ادامه این پژوهش 2 نمونه تحت جریان پالسی با فرکانس‌های متغیر 5 و 20 هرتز اتصال داده شدند. جدول (3) مربوط به متغیرهای

در قدم اول برای تعیین جریان بهینه برای جوشکاری ورق‌ها با ضخامت 2 میلیمتر، از 3 جریان 50، 60 و 70 آمپر استفاده شد که به ترتیب با نمادهای A<sub>1</sub> و A<sub>2</sub> و A<sub>3</sub> مشخص شده‌اند. جدول (2) مربوط به متغیرهای فرایند جوشکاری هر نمونه می‌باشد. این جدول به منظور محاسبه دقیق حرارت ورودی و مقایسه کمی شرایط سه جریان جوشکاری مورد استفاده قرار گرفته است.

جدول 2- متغیرهای جوشکاری اعمال شده در نمونه های A<sub>3</sub>, A<sub>2</sub>, A<sub>1</sub>.

نمونه	جریان (A)	ولتاژ (V)	سرعت دست جوشکار (mm/min <sup>-1</sup> )	حرارت ورودی (j/mm)
A <sub>1</sub>	50	11 ± 0,3	60	330
A <sub>2</sub>	60	12 ± 0,3	60	432
A <sub>3</sub>	70	14 ± 0,3	60	588

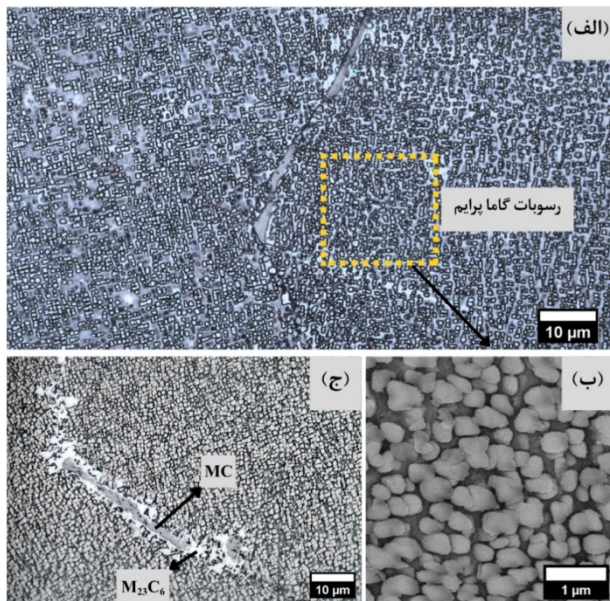
نتایج حاصل نشان داد که نمونه جوشکاری شده با جریان 70 آمپر به دلیل حرارت ورودی بسیار زیاد، دچار ترک‌های انجمادی گسترده در طول خط جوش گردید. در واقع به سبب حجم مذاب زیاد، تنش انقباضی زیادی به ساختار فلز جوش وارد شده است که موجب تشکیل ترک انجمادی در این نمونه شده است. شکل (2) مربوط به این جریان می‌باشد.

نمونه حاصل از جریان 60 آمپر نیز به دلیل حرارت ورودی بالاتر نسبت به جریان 50 آمپر، دچار اعوجاج شد. همچنین همان‌طور که در شکل (3) نشان داده شده، در ریشه جوش نیز ما شاهد نفوذ بیش از حد در ریشه جوش هستیم که نشان دهنده حرارت ورودی بیش از حد می‌باشد.

جدول 3- متغیرهای جوشکاری نمونه های جریان پالسی.

شماره فرایند	جریان پیشینه	جریان کمینه	فرکانس (هرتز)	ولتاژ (ولت)	روشن بودن پالس	سرعت دست جوشکار (میلیمتر/ثانیه)	حرارت ورودی $j.mm^{-1}$
P <sub>5</sub>	60	40	5	11 ± 0,3	50 درصد	1 mm.sec <sup>-1</sup>	330
P <sub>20</sub>	60	40	20	11 ± 0,3	50 درصد	1 mm.sec <sup>-1</sup>	330

گزارش شده توسط منتظری و همکاران [12] است؛ اندازه‌ای که در آن رسوبات گاما پرایم از طریق ترکیب دو مکانیزم برش نابجایی و عبور اوراوان، بیشترین سختی را در ریزساختار ایجاد می‌کنند. بنابراین، براساس مشاهدات تصاویر و نتایج محاسبات، انتظار می‌رود سختی فلز پایه در این تحقیق کمتر از مقدار پیشینه باشد.



شکل 4- الف- تصویر میکروسکوپ نوری از ریزساختار فلز پایه IN738LC  
 ب- تصویر میکروسکوپ الکترونی از رسوبات گاما پرایم در بزرگنمایی بیشتر از ناحیه مشخص شده، ج- وضعیت رسوبات کاربید MC و M<sub>23</sub>C<sub>6</sub> در ریزساختار فلز پایه.

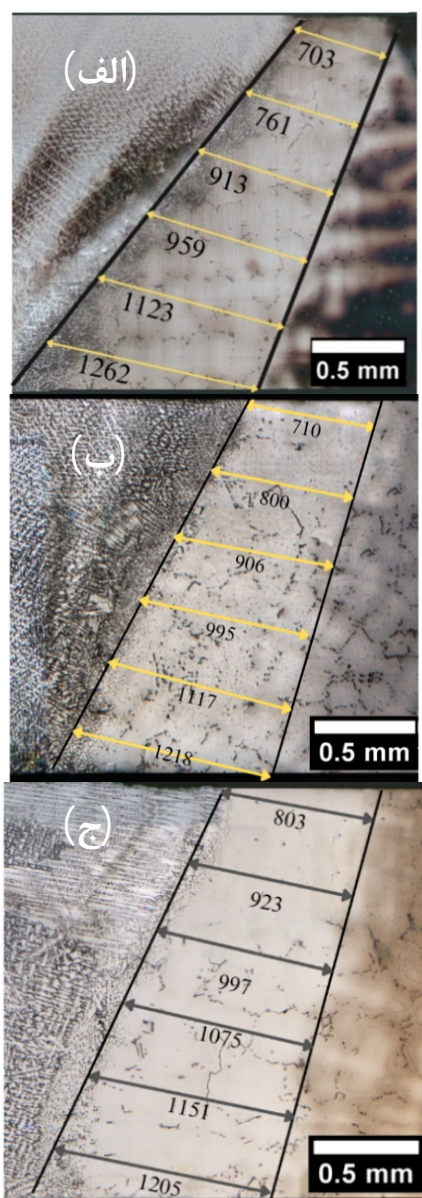
اهمیت این موضوع در آن است که سختی فلز پایه به‌طور مستقیم بر حساسیت به ترک اثرگذار است. همان‌طور که در مبانی نظری توضیح داده شد، افزایش سختی موجب کاهش توانایی رهایی از تنش می‌شود و در نتیجه تنش‌های بیشتری در ساختار باقی می‌ماند که تمایل به ترک‌خوردگی را افزایش می‌دهد. بدین ترتیب، آنچه در تصاویر مشاهده شد، یعنی

این دو نمونه می‌باشد که به ترتیب با B<sub>1</sub> و B<sub>2</sub> مشخص گردیده‌اند. به منظور ارزیابی خواص مکانیکی نمونه‌های جوشکاری شده، نمونه‌های آزمون کشش در دمای محیط مطابق با استانداردهای ASTM E8 آماده‌سازی شدند. در این تحقیق، نمونه‌های متالوگرافی از طریق برشکاری مقطعی جوش با استفاده از برشکاری سیمی (EDM) از قطعه جوشکاری شده جدا شدند، به‌گونه‌ای که امکان بررسی منطقه جوش و نواحی مجاور آن فراهم شود. پس از سنباده‌زنی با سنباده‌های 800، 1000، 2000 و 3000 نمونه‌ها تحت پولیش نهایی قرار گرفتند و سپس در یک سلول الکتریکی توسط ترکیب اچ با 8 درصد حجمی فسفریک اسید، 28 درصد حجمی نیتریک اسید، 32 درصد حجمی سولفوریک اسید و 32 درصد حجمی آب مقطر حکاکی شدند. عملیات الکترو اچ با ولتاژ 5 ولت و جریان ثابت 4 آمپر انجام شد و زمان حکاکی 2 ثانیه برای دستیابی به مشاهده ریزساختار نمونه‌ها کافی بود. همچنین آزمون سختی سنجی با حد فاصل 400 میکرون در ناحیه فلز جوش و فلز پایه و 200 میکرون در ناحیه متأثر از حرارت، با اعمال بار 3 نیوتن صورت گرفت.

### 3- نتایج و بحث

#### 3-1- بررسی ریزساختار فلز پایه

تصاویر (4-الف) نمای کلی از ریزساختار فلز پایه پس از عملیات حرارتی پیش جوشکاری را نشان می‌دهد، درحالی‌که شکل (4-ب) رسوبات  $\gamma'$  را با بزرگنمایی بالاتر نمایش می‌دهد. تحلیل این رسوبات با استفاده از نرم‌افزار ImageJ انجام شد و میانگین اندازه آنها حدود  $0/394 \pm 0/07$  میکرومتر به دست آمد. این مقدار کوچک‌تر از اندازه بهینه‌ی حدود 0/45-0/48 میکرومتر



شکل 5- تصویر میکروسکوپ نوری از ناحیه HAZ:  
الف- نمونه A1، ب- نمونه B1، ج- نمونه B2.

اگرچه در این مجموعه آزمایش‌ها مقدار حرارت ورودی واحد طول برای تمام نمونه‌ها یکسان تنظیم شده بود، نتایج حاکی از آن است که پروفایل زمانی جریان و توان نقش تعیین‌کننده‌ای در پهنای ناحیه متأثر از حرارت ایفا می‌کند. به بیان دیگر، آنچه اهمیت دارد صرفاً مقدار کل انرژی نیست، بلکه نحوه انتقال انرژی به قطعه است. در حالت  $A_1$  (جریان ثابت) انرژی به‌طور پیوسته اعمال می‌شود، در حالی که در حالت پالسی، همان انرژی به‌صورت پالس‌های کوتاه همراه با فواصل خنک‌کاری

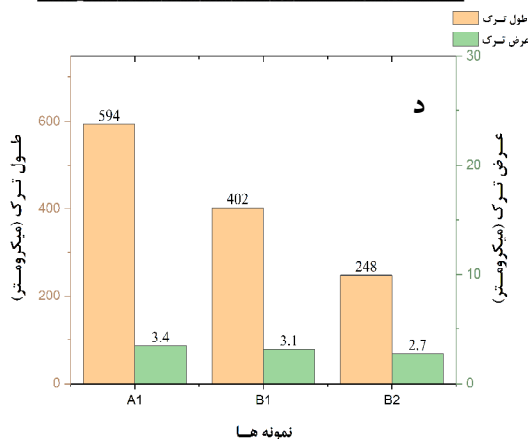
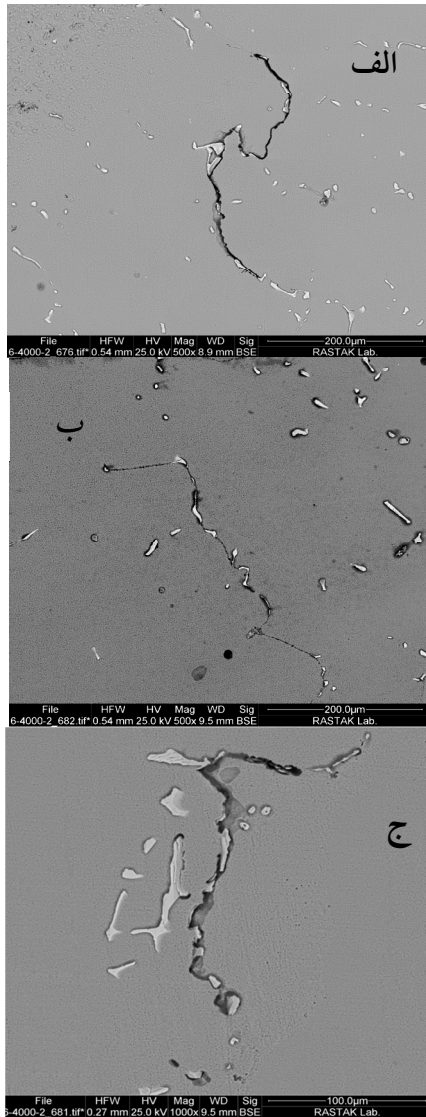
ریزساختاری با رسوبات گاما پرایم کوچک‌تر از مقدار بهینه، نشان می‌دهد که عملیات حرارتی اولیه نقش تعیین‌کننده‌ای در رفتار مکانیکی و مقاومت به ترک آلیاژ ایفا کرده است. همچنین شکل (4-ج) نیز مربوط به وضعیت کاربیدهای MC و  $M_{23}C_6$  می‌باشد.

### 3-2- بررسی ناحیه متأثر از حرارت

پس از بررسی ریزساختار فلز پایه، ناحیه متأثر از حرارت مورد مطالعه قرار گرفت. اهمیت این ناحیه در آن است که تحت تأثیر حرارت جوشکاری تغییرات ریزساختاری قابل توجهی را تجربه می‌کند. محلول حکاکی مورد استفاده عمدتاً زمینه را خورده و رسوبات را تحت تأثیر قرار نمی‌دهد [13]. در ناحیه متأثر از حرارت بخشی از رسوبات گاما پرایم حل شده و عناصر تشکیل‌دهنده‌ی آنها (عمدتاً Al و Ti) به زمینه بازمی‌گردند، این امر موجب افزایش مقاومت به خوردگی زمینه با اضافه شدن عناصر آلومینیوم و تیتانیوم ناشی از انحلال رسوبات در این ناحیه می‌شود [14]. با این حال، این ناحیه کاملاً عاری از رسوبات نیست، زیرا حتی با وجود نرخ سرمایش بالا، جوانه‌زنی رسوبات جدید ادامه دارد؛ هرچند اندازه آنها به‌طور محسوسی از فلز پایه کوچکتر است. افزایش غلظت Al و Ti در زمینه، مقاومت به خوردگی زمینه را بالا برده و اختلاف رنگی بین فلز پایه و ناحیه متأثر از حرارت پس از حکاکی ایجاد می‌کند که جداسازی این دو ناحیه را تسهیل می‌کند. تصاویر (5-الف تا 5-ج) ریزساختار ناحیه متأثر از حرارت را به ترتیب در نمونه‌های  $A_1$  و  $B_1$  و  $B_2$  نشان می‌دهند و امکان مقایسه اثر جریان ثابت و پالسی بر این ناحیه را فراهم می‌سازند.

تحلیل ابعادی ناحیه متأثر از حرارت بر اساس تصاویر میکروسکوپ نوری از سمت راست نمونه‌ها و با استفاده از نرم‌افزار ImageJ انجام شد. برای افزایش دقت، اندازه‌گیری در سه بخش بالایی، میانی و پایینی هر تصویر صورت گرفت. نتایج نشان داد که عرض ناحیه متأثر از حرارت در نمونه‌های  $A_1$ ،  $B_1$  و  $B_2$  به‌ترتیب برابر با 957، 1025 و 953 میکرومتر است.

در نمونه‌های  $A_1$  و  $B_1$  مشاهده می‌شود، با حرکت از مرز حوضچه به سمت مرکز، ساختار دندردیتی ستونی غالب است.



شکل 6- تصاویر میکروسکوپ الکترونی از ترک ذوب شدگی تشکیل شده در ناحیه متأثر از حرارت نمونه‌های جوشکاری شده، الف- نمونه  $A_1$ ، ب- نمونه  $B_1$  و ج- نمونه  $B_2$ ، د- نمودار طول-عرض ترک‌ها.

وارد می‌شود. برای بسیاری از پدیده‌های وابسته به دما نظیر رشد دانه، انحلال فازها و نرمال‌سازی ریزساختار، مدت زمانی که ماده در بازه‌های دمایی بحرانی باقی می‌ماند اهمیت بیشتری از مقدار انرژی کل دارد. در جریان ثابت، این زمان طولانی‌تر بوده و بنابراین نواحی دورتر نیز می‌توانند به دماهای بحرانی برسند و ناحیه متأثر از حرارت وسیع‌تری شکل بگیرد. در مقابل، در حالت پالسی وجود فواصل خنک‌کاری باعث کاهش زمان مؤثر در بازه‌های بحرانی شده و نفوذ جانبی حرارت محدود می‌شود؛ در نتیجه عرض ناحیه متأثر از حرارت کاهش می‌یابد. یافته‌های این قسمت همراستا با پژوهش دزفولی و همکاران بود، آن‌ها مشاهده کردند که با افزایش فرکانس، عرض ناحیه متأثر از حرارت کاهش یافته است [15 و 16]. در ادامه، به کمک تصاویر میکروسکوپ الکترونی ترک‌های موجود در ناحیه متأثر از حرارت نمونه‌های  $A_1$  تا  $B_2$  مورد بررسی قرار گرفتند. به منظور تحلیل دقیق‌تر، طول و عرض ترک‌ها با استفاده از نرم‌افزار ImageJ اندازه‌گیری شد تا داده‌های کمی لازم برای مقایسه میان نمونه‌ها فراهم گردد. هدف از این بخش، مستندسازی مشخصات هندسی ترک‌ها و ایجاد مبنای مناسب برای تحلیل‌های بعدی در خصوص ویژگی‌های ساختاری و متالورژیکی ناحیه آسیب‌دیده بود. در تصاویر (6-الف تا 6-ج) به ترتیب مربوط به ترک‌های ذوبی تشکیل شده در نمونه  $A_1$ ،  $B_1$  و  $B_2$  می‌باشد. نتایج کمی حاصل از این اندازه‌گیری‌ها به شرح زیر است:

طول ترک‌ها در نمونه‌های  $A_1$  تا  $B_2$  به ترتیب برابر با 594، 402 و 248 میکرومتر بوده است. همچنین عرض ترک‌ها در همین نمونه‌ها به ترتیب 3/4، 3/1 و 2/7 میکرومتر اندازه‌گیری شد. تصویر (6-د) مربوط به نمودار طول و عرض ترک‌ها در نمونه‌ها مختلف می‌باشد.

### 3-3- بررسی ناحیه فلزجوش

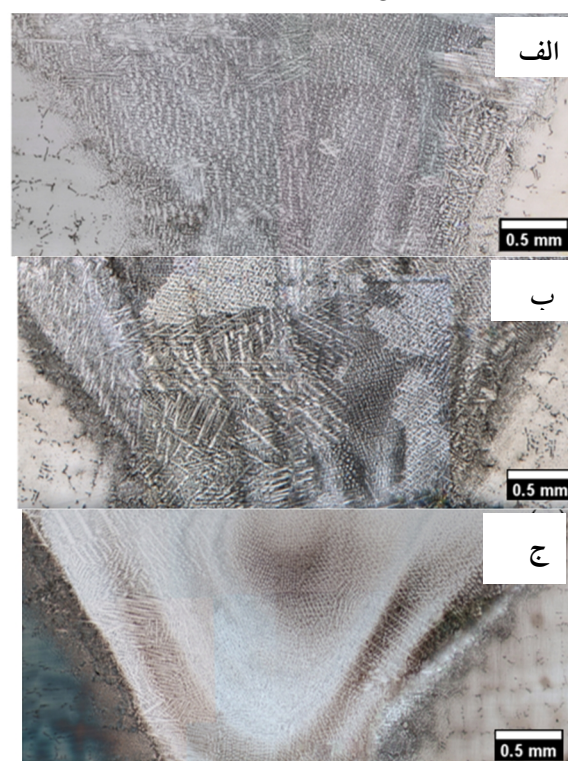
در این بخش، با استفاده از تصاویر میکروسکوپ نوری (شکل 7 الف-ج) مربوط به نمونه‌های  $A_1$ ،  $B_1$  و  $B_2$ ، ریزساختارهای انجمادی فلز جوش بررسی شد. همان‌طور که

### 3-4- خواص مکانیکی

#### 3-4-1- سختی سنجی ناحیه متأثر از حرارت

ناحیه متأثر از حرارت به دلیل تجربه سیکل‌های حرارتی جوشکاری، معمولاً دستخوش تغییرات ریزساختاری و در پی آن تغییرات سختی می‌شود [17]. نتایج آزمون سختی در این ناحیه برای نمونه‌های  $A_1$ ،  $B_1$  و  $B_2$  در جدول (4) گزارش شده است؛ میانگین سختی آن‌ها به ترتیب 356، 359 و 366 ویکرز است. پروفیل سختی این ناحیه نیز در شکل (8) ارائه شده است. مشاهده می‌شود که با تغییر جریان از حالت ثابت به پالسی و همچنین با افزایش فرکانس، میانگین سختی ناحیه متأثر از حرارت افزایش می‌یابد؛ به بیان دیگر، هرچند نسبت به فلز پایه افت سختی وجود دارد، استفاده از جریان پالسی افت مزبور را کاهش می‌دهد. براساس مطالعات پیشین [18 و 19] درباره تغییرات سختی در سوپرآلیاژها، شاخص‌های متعددی برای تبیین رفتار سختی مطرح شده است که از میان آن‌ها برهم‌کنش نابه‌جایی‌ها با رسوبات گاما پرایم اهمیت ویژه‌ای دارد. گزارش‌های [20-22] نشان داده‌اند که اندازه رسوبات می‌تواند موجب تغییر در سختی شود؛ به گونه‌ای که در یک اندازه بهینه، بیشترین سختی حاصل می‌شود. هنگامی که اندازه رسوبات از این مقدار بهینه کوچک‌تر باشد، نابه‌جایی‌ها رسوبات را به صورت برشی قطع می‌کنند؛ و وقتی بزرگ‌تر از مقدار بهینه باشند، گذر نابه‌جایی‌ها عمده‌تاً با تشکیل حلقه‌های اروان پیرامون رسوبات انجام می‌گیرد. در اندازه بهینه، تلفیقی از هر دو سازوکار فعال است و همین امر موجب بیشینه‌شدن سختی می‌شود. نتایج منتظری و همکاران [6] نشان داد که بیشترین سختی در اندازه رسوبات گاما پرایم حدود 0/480 میکرومتر رخ می‌دهد. از آن‌جا که میانگین اندازه رسوبات گاما پرایم پیش از جوشکاری حدود 0/394 میکرومتر بوده است، انتظار می‌رود سازوکار غالب عبور نابه‌جایی‌ها از نوع برشی باشد. پس از جوشکاری، به سبب سیکل حرارتی و انتقال حرارت به ناحیه متأثر از حرارت، بخش قابل‌توجهی از رسوبات دچار انحلال و رسوب‌گذاری مجدد می‌شوند. با توجه به نرخ سرمایش بسیار بالا، رسوبات فرصت رشد نمی‌یابند و اندازه آن‌ها کوچک‌تر از

این نوع ساختار زمانی شکل می‌گیرد که نسبت  $G/R$  (گرادیان حرارتی به نرخ رشد) بالا باشد؛ زیرا گرادیان حرارتی زیاد موجب رشد جهت‌دار دانه‌ها در راستای مشخص می‌شود. مقایسه تصاویر (شکل 7-ب و 7-پ) نشان می‌دهد که گرادیان حرارتی دو نمونه مشابه است، هرچند طول بیشینه دندریت‌های ستونی در  $A_1$  (1/1 میکرومتر) کمی بیشتر از  $B_1$  (0/93 میکرومتر) است که نشان‌دهنده کاهش جزئی گرادیان حرارتی در  $B_1$  است. در مقابل، ریزساختار نمونه  $B_2$  رفتار متفاوتی دارد. در این نمونه با افزایش فرکانس جریان و تشدید نوسانات قوس، همزدگی مذاب شدیدتر شده و شکست نوک دندریت‌های در حال رشد رخ داده است. قطعات شکسته‌شده توسط جریان همرفتی جابجا شده و به‌عنوان مراکز جوانه‌زنی ثانویه عمل کرده‌اند. در نتیجه سهم ساختار هم‌محور افزایش یافته و رشد ستونی کاهش یافته است (شکل 7). میانگین طول بیشینه دندریت ستونی در  $B_2$  حدود 0/62 میکرومتر گزارش شد که بیانگر کاهش طول دندریت‌ها در اثر افزایش تلاطم و کاهش گرادیان حرارتی است.



شکل 7- تصویر میکروسکوپ نوری از ناحیه فلزجوش:

الف - نمونه  $A_1$ ، ب - نمونه  $B_1$ ، ج - نمونه  $B_2$ .

گاما پرایم قرار دارد. بر اساس مشاهدات ریزساختاری که در بخش‌های پیشین ارائه شد، در نمونه‌های  $A_1$  و  $B_1$  ساختار فلز جوش عمدتاً به صورت دندریت ستونی مشاهده گردید، در حالی که در نمونه  $B_2$  علاوه بر دندریت‌های ستونی، حضور قابل توجهی از دندریت‌های هم‌محور نیز به ثبت رسید. حضور ساختارهای هم‌محور موجب افزایش تعداد مرزهای دندریتی شده و همین موضوع به‌عنوان یکی از عوامل مهم در افزایش سختی نمونه‌های  $B_2$  نسبت به  $A_1$  و  $B_1$  قابل توضیح است. از سوی دیگر، بررسی‌های کمی بر روی کاربدهای تشکیل شده در ناحیه فلز جوش نشان داد که میزان کاربدها در نمونه‌های پالسی کاهش یافته و روندی کاهشی از نمونه  $A_1$  تا  $B_2$  مشاهده می‌شود.

این پدیده منجر به تشکیل کاربدهای با درصد سطحی بالاتر در ساختار فلز جوش گردیده که می‌تواند به‌طور مستقیم بر رفتار سختی این نمونه‌ها اثرگذار باشد. علاوه بر این، آنالیز عناصر تشکیل‌دهنده رسوبات گاما پرایم نیز بیانگر کاهش مجموع درصد عناصر تشکیل‌دهنده از نمونه‌ی  $A_1$  به سمت  $B_2$  است. این موضوع زمینه‌ساز تشکیل رسوبات گاما پرایم با اندازه نسبتاً بزرگ‌تر در نمونه‌هایی با محتوای بالاتر این عناصر بوده که خود به‌عنوان عامل دیگری بر تغییرات سختی در فلز جوش عمل می‌کند [24]. بر اساس نتایج حاصل از آزمون سختی، میانگین سختی در ناحیه فلز جوش به ترتیب برابر است با:  $446/3$  ویکرز در نمونه  $A_1$ ،  $454/9$  ویکرز در نمونه  $B_1$  و  $469/8$  ویکرز در نمونه  $B_2$  این مقادیر به‌روشنی نشان می‌دهد که میانگین سختی فلز جوش از نمونه  $A_1$  تا  $B_2$  دارای روندی افزایشی است. همچنین، با بررسی پروفیل‌های سختی مشخص شد که در نمونه‌های  $A_1$  و  $B_1$  به دلیل وجود دندریت‌های ستونی و توزیع غیر یکنواخت کاربدها، توزیع سختی در فلز جوش ناهمگن است [25]. در مقابل، در نمونه  $B_2$  به به واسطه حضور دندریت‌های هم‌محور و توزیع یکنواخت‌تر کاربدها، توزیع سختی در فلز جوش به‌طور محسوسی همگن‌تر مشاهده گردید. شکل (8-الف الی 8-پ) مربوط به پروفیل سختی در نمونه‌های  $A_1$  تا  $B_2$  می‌باشد.

حالت اولیه باقی می‌ماند؛ موضوعی که به کاهش سختی در این ناحیه می‌انجامد. در مقابل، اعمال جریان پالسی و افزایش فرکانس با افزایش دفعات خنک‌کاری، از تجمع حرارتی و انتقال بیش از حد حرارت به ناحیه متأثر از حرارت می‌کاهد؛ بدین ترتیب ناحیه متأثر از حرارت (به‌ویژه در فرکانس 20 هرتز) کمتر دستخوش تغییرات ریزساختاری شده و افت سختی کمتری را نشان می‌دهد.

جدول 4- سختی سنجی در ناحیه متأثر از حرارت نمونه های مختلف.

نمونه	سختی (ویکرز)	میانگین سختی
$A_1$	350 – 354 – 359 – 361	356
$B_1$	352 – 353 – 364 – 367	359
$B_2$	351 – 354 – 376 – 382	366.7

### 3-4-2- سختی سنجی ناحیه فلز جوش

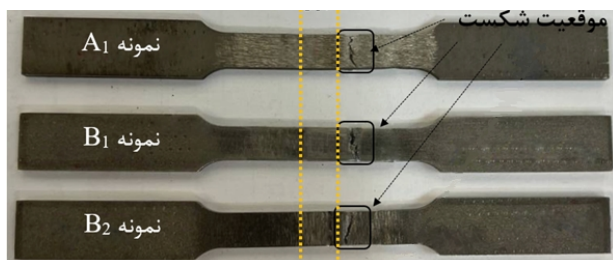
ناحیه فلز جوش (WM)، که مستقیماً تحت تأثیر فرایند ذوب و انجماد قرار گرفته، معمولاً دارای ریزساختار و در نتیجه خواص سختی متفاوتی نسبت به فلز پایه و ناحیه متأثر از حرارت است [23]. برای هر نمونه، 10 اندازه‌گیری سختی با فواصل 400 میکرومتر از یکدیگر در مرکز ناحیه فلز جوش تا به سمت مرز حوضچه مذاب انجام شد. نتایج به دست‌آمده به شرح جدول (5) است.

جدول 5- سختی سنجی در ناحیه فلز جوش نمونه های مختلف.

نمونه	سختی (ویکرز)	میانگین سختی
$A_1$	432 – 449 – 437 – 469 – 439 – 459 – 440 – 451 – 432 – 455	446.3
$B_1$	463 – 443 – 437 – 469 – 439 – 479 – 450 – 461 – 442 – 466	454.9
$B_2$	452 – 460 – 475 – 480 – 478 – 470 – 470 – 476 – 472 – 465	469.8

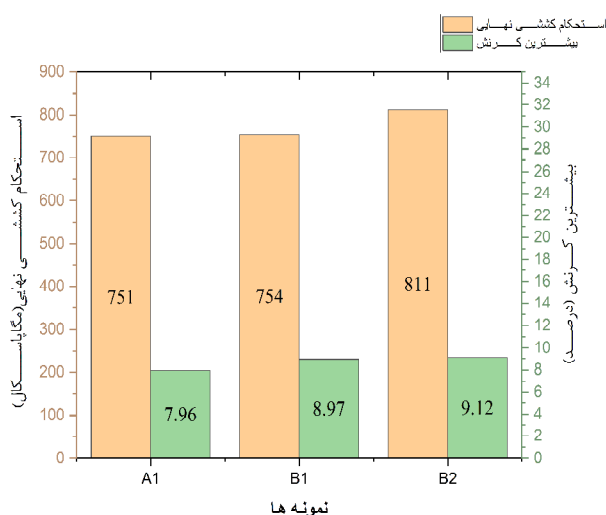
سختی در ناحیه فلز جوش تحت تأثیر عواملی همچون مرزهای دندریتی، توزیع کاربدها و ترکیب شیمیایی مؤثر در رسوبات

به‌عنوان معیاری عینی برای سنجش کیفیت پیوند جوش، امکان مقایسه نمونه‌ها با پارامترهای مختلف فرایند جوشکاری نظیر فرکانس پالس، جریان را فراهم می‌سازد. در گام نخست، تصاویر نمونه‌ها پس از آزمون کشش مورد تحلیل قرار گرفت. همان‌طور که در شکل (9) مشخص است، همه نمونه‌ها از ناحیه متأثر از حرارت دچار شکست شده‌اند.



شکل 9- محل شکست نمونه‌ها پس از اجرای آزمون کشش.

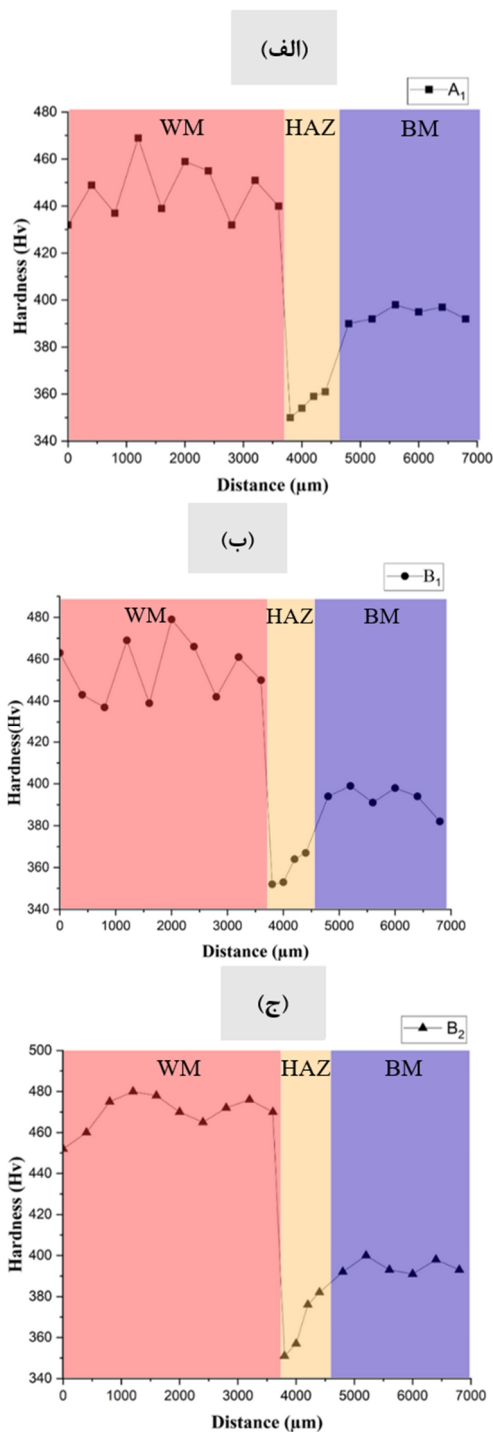
در ادامه، به‌منظور گزارش کمی عملکرد مکانیکی نمونه‌ها، نمودار ستونی استحکام کشش نهایی و بیشترین کرنش ترسیم شده است (شکل 10).



شکل 10- نمودار میله‌ای استحکام کششی نهایی و بیشترین کرنش.

نتایج به‌دست‌آمده به‌شرح زیر است.

با توجه به نتایج آزمون کشش، کلیه نمونه‌ها از ناحیه متأثر از حرارت دچار شکست شده‌اند. مقادیر استحکام کششی نهایی به‌ترتیب برای نمونه‌های A<sub>1</sub>، B<sub>1</sub> و B<sub>2</sub> برابر با 751، 784 و 811 مگاپاسکال بوده است. همچنین، مقادیر بیشترین کرنش این نمونه‌ها نیز به‌ترتیب برابر با 7/96، 8/97 و 9/12 درصد اندازه‌گیری شده است. با وجود اینکه مکانیسم غالب شکست



شکل 8- پروفیل سختی، الف- نمونه A<sub>1</sub>، ب- نمونه B<sub>1</sub> و ج- نمونه B<sub>2</sub>.

### 3-4-3- تست کشش

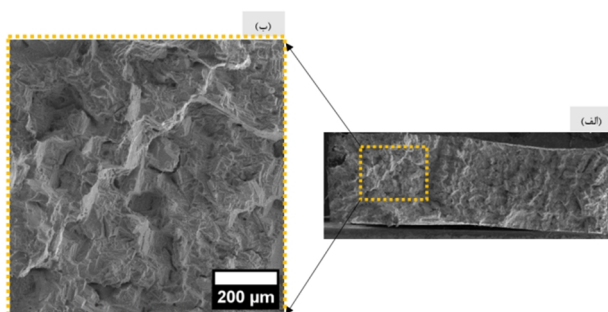
در فرایند جوشکاری سوپرآلیاژهای پایه نیکل نظیر IN738LC، به دلیل حساسیت بالای این آلیاژها به ترک‌خوردگی به‌ویژه در ناحیه متأثر از حرارت، کنترل و ارزیابی خواص مکانیکی پس از جوشکاری از اهمیت بالایی برخوردار است. آزمون کشش،

از حرارت در نمونه‌های A1، B1 و B2 مطابق شکل (5)، مشاهده می‌شود که پالسی‌کردن جریان و افزایش فرکانس، وسعت این ناحیه را کاهش می‌دهد؛ به عبارت دیگر، شدت تغییرات ریزساختاری ناشی از انحلال و رسوب‌گذاری مجدد کمتر می‌شود. در مجموع، این دو سازوکار (کاهش تنش‌های انقباضی به دلیل کاهش حجم فلز جوش و کاهش دگرگونی‌های ریزساختاری ناحیه متأثر از حرارت) منجر به تشکیل ترک‌هایی با میانگین طول و عرض کمتر در ناحیه متأثر از حرارت شده است. در نهایت، نمونه B2 به سبب داشتن ترک‌های کوتاه‌تر و باریک‌تر، بیشترین استحکام کششی و کرنش را نشان داده و از منظر عملکرد مکانیکی بر سایر نمونه‌ها برتری داشته است.

### 3-5- شکست نگاری

در این بخش، سطوح شکست نمونه‌های تحت پژوهش با استفاده از میکروسکوپ الکترونی روبشی مورد بررسی قرار گرفتند. هدف از این تحلیل، شناسایی نوع مکانیزم‌های شکست، تعیین مسیر گسترش ترک و ارزیابی ویژگی‌های میکروسکوپی سطح گسیختگی در هر یک از نمونه‌ها بود. بررسی مورفولوژی سطح شکست نقش مهمی در تعیین اینکه شکست از نوع نرم یا ترد هست، ایفا می‌کند. همچنین، از طریق مشاهده جزئیات سطحی مانند شکل و توزیع حفرات، صفحات ترد، اطلاعات ارزشمندی در خصوص عملکرد ماده تحت شرایط مختلف بارگذاری و فرایندهای دخیل در گسیختگی به دست آمد. این تحلیل‌ها نقش کلیدی در تفسیر رفتار شکست و ارزیابی کیفیت فرایند جوشکاری و شرایط بهره‌برداری ایفا می‌کنند. اشکال (11 تا 13) که به صورت دو بخش الف و ب قرار دارند به ترتیب مربوط به نمونه‌های A1، B1 و B2 هستند، توسط میکروسکوپ الکترونی روبشی تهیه شده‌اند. در ادامه بررسی‌های انجام‌شده در فصل‌های پیشین، مشخص گردید که محل شکست هر چهار نمونه در ناحیه متأثر از حرارت واقع شده. با هدف تحلیل دقیق‌تر رفتار شکست در این نمونه‌ها، سطوح شکست آن‌ها مورد بررسی قرار گرفت. در اشکال (11 تا 13) بخش الف تمامی نمونه‌ها سطحی ناصاف، زبر و نسبتاً پرفراز و

در تمامی نمونه‌ها ماهیتی نیمه‌ترد دارد، اما روند افزایشی کرنش بیشینه در نمونه B2، نشان‌دهنده‌ی افزایش قابلیت جذب انرژی و بهبود چقرمگی اتصال جوشکاری شده است. به عبارت دیگر، افزایش کرنش بیشینه موجب افزایش مساحت سطح زیر نمودار تنش-کرنش شده و از منظر مکانیکی به معنای مقاومت بالاتر در برابر شکست ناگهانی خواهد بود. به نظر می‌رسد ترک‌های ذوبی موجود در ناحیه متأثر از حرارت نقش کلیدی در محل و نحوه‌ی شکست ایفا کرده‌اند. برای نمونه، نمونه A1 که دارای بیشترین طول (594 میکرومتر) و عرض (34 میکرومتر) ترک ذوبی بوده، سریع‌تر از این ناحیه دچار شکست شده است؛ در حالی که نمونه‌ی B2 که دارای کمترین طول (146 میکرومتر) و عرض (14 میکرومتر) ترک بوده، بیشترین استحکام کششی را از خود نشان داده است. بر اساس بررسی‌های انجام‌شده می‌توان نتیجه گرفت که هر دو دسته عوامل متالورژیکی و مکانیکی در تشکیل ترک‌های ذوبی نقش دارند [26 و 27]. تفاوت در استفاده از جریان ثابت و پالسی (همراه با افزایش فرکانس) به تشکیل ترک‌هایی با مشخصات طولی و عرضی متفاوت انجامیده است؛ علت این تفاوت‌ها به مؤلفه‌های مکانیکی ناشی از نوع جریان بازمی‌گردد. بر اساس شکل (7) و اندازه‌گیری مساحت فلز جوش با نرم‌افزار ImageJ، مقادیر برای نمونه‌های A1، B1 و B2 به ترتیب برابر با 7/11، 6/45 و 5/82 میلی‌متر مربع است. بدین ترتیب، پالسی‌کردن جریان باعث انتقال ناپیوسته حرارت و با افزایش فرکانس موجب فزونی وقفه‌های خنک‌کاری می‌شود؛ در نتیجه مساحت فلز جوش در نمونه‌های پالسی کاهش می‌یابد. از سوی دیگر، با کاهش حجم فلز جوش، تنش‌های انقباضی نیز کاهش می‌یابد و به این ترتیب نقش مکانیکی تشدیدکننده ترک‌های ذوبی در این ناحیه تضعیف می‌شود. عامل اثرگذار دیگر، تغییرات ریزساختاری در ناحیه متأثر از حرارت است. حین جوشکاری، رسوبات گاما پرایم در این ناحیه دچار انحلال و رسوب‌گذاری مجدد می‌شوند. ژو و همکاران [28] گزارش کرده‌اند که رسوب‌گذاری مجدد می‌تواند تنش کششی موضعی ایجاد کند که به عنوان محرک مکانیکی در تشدید ترک مؤثر است. با اتکا به اندازه‌گیری وسعت ناحیه متأثر



شکل 13- تصویر میکروسکوپ الکترونی نمونه B2 الف - تصویر از مقطع شکست، ب - تصویر با بزرگنمایی بیشتر از قسمت مشخص شده.

در ادامه بررسی تصاویر شکست در شکل (14-الف الی 14-ب) با بزرگنمایی 4000 برابر (SEM) نشان می‌دهد که سطح شکست در این نمونه‌ها نیز شامل دیمپل‌هایی با ابعاد میکرومتری است که نشان‌دهنده وقوع تغییر شکل پلاستیک در نواحی موضعی است. با این حال، تراکم و ابعاد دیمپل‌ها کم است. پژوهش‌های پیشین نیز تأکید کرده‌اند که منشأ بسیاری از دیمپل‌ها، ذرات  $\gamma$  هستند [29]. در غیاب این ذرات، که نقش هسته‌زایی برای دیمپل‌ها را دارند، سطوح شکست تمایل بیشتری به بروز رفتار ترد پیدا می‌کنند. بنابراین با توجه به تصاویر به نظر می‌رسد که ما با ترک نیمه تردی روبرو هستیم.

#### 4- نتیجه گیری

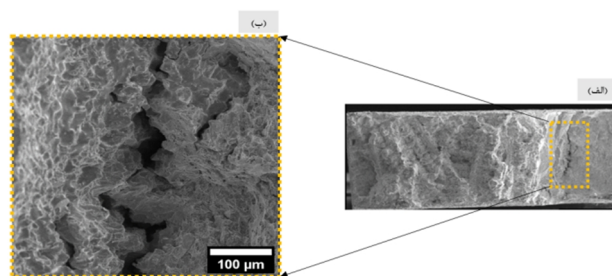
- کاهش ترک خوردگی در ناحیه HAZ استفاده از جریان پالسی، به‌ویژه در فرکانس 20 هرتز، حساسیت به ترک ذوب‌شدگی را به‌طور چشمگیری کاهش داد. طول ترک‌ها از مقادیر بالاتر در حالت جریان ثابت از 594 میکرومتر به 402 میکرومتر در جریان پالسی با فرکانس 5 هرتز و در فرکانس 20 هرتز به 146 میکرومتر کاهش یافت، که نشان‌دهنده کاهش در میزان ترک خوردگی و بهبود قابل توجه جوش‌پذیری است.

- بهبود رفتار حرارتی و تنش‌های انجماد: در فرکانس‌های بالاتر، جریان پالسی با ایجاد تلاطم در حوضچه مذاب، گرادیان حرارتی را کاهش و توزیع دما را یکنواخت‌تر کرد. این تغییر منجر به کاهش محسوس تنش‌های کششی انجماد و جلوگیری از گسترش ترک‌های ذوب‌شدگی شد.

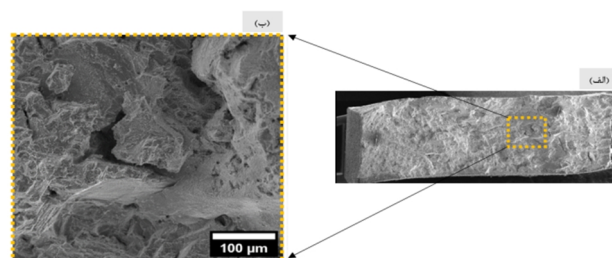
- افزایش خواص مکانیکی و سختی: استحکام کششی نهایی

نشیب نشان می‌دهند. علاوه بر این، ردپای واضحی از الگوهای دندریتی در سطح شکست قابل مشاهده است (شکل 13-ب) این امر نشان‌دهنده مسیر شکست در صفحه شکست می‌باشد که به صورت بین دندریتی است. در ادامه بررسی سطح شکست نمونه‌های جوشکاری‌شده، تصاویر قسمت ب با بزرگنمایی 500 برابر از سطوح شکست تهیه گردیدند. این تصاویر که به ترتیب مربوط به نمونه‌های  $A_1$ ،  $B_1$  و  $B_2$  هستند. در اغلب تصاویر، حضور ترک‌های ثانویه به‌وضوح قابل مشاهده است. این ترک‌ها معمولاً در اثر تمرکز تنش‌های موضعی یا وجود فازهای شکننده در مجاورت ناحیه شکست اصلی به‌وجود می‌آیند. در واقع به نظر می‌رسد در این نواحی محصولاتی از فیلم‌های ذوب‌شدگی ترکیبی وجود داشته که با گسترش ترک و کاهش سطح مقطع، تنش بیشتری به ساختار وارد شده که منجر به پیدایش ترک‌های ثانویه، در سطح شکست قطعات شده است. در تصاویر (11 و 12 و 13) الف، شکست در امتداد مرزهای بین دندریتی توسعه یافته که نشان‌دهنده رفتار رشد ترک از نوع بین دندریتی می‌باشد. به‌طور خلاصه، یافته‌های حاصل از بررسی تصاویر این بخش بر دو نکته کلیدی تأکید دارند:

- 1- وجود ترک‌های ثانویه در سطح شکست تمامی نمونه‌ها،
- 2- گسترش ترک‌ها در مسیر بین دندریتی.



شکل 11- تصویر میکروسکوپ الکترونی نمونه A1 الف - تصویر از مقطع شکست، ب - تصویر با بزرگنمایی بیشتر از قسمت مشخص شده.

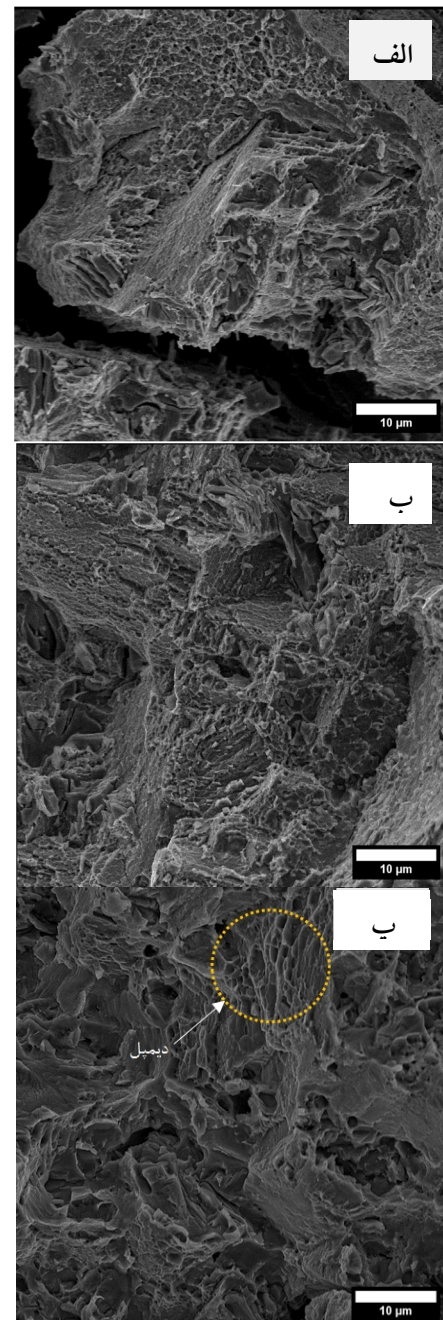


شکل 12- تصویر میکروسکوپ الکترونی نمونه B1 الف - تصویر از مقطع شکست، ب - تصویر با بزرگنمایی بیشتر از قسمت مشخص شده.

## منابع

- Hosseini, S., S. Nategh, and A. Ekrami, Changes of  $\gamma'$  precipitate characteristics in damaged superalloy IN738LC during different stages of rejuvenation heat treatment cycles. *Materials Science and Technology*, 2012. 28(2): p. 213-219.
- Ojo, O., N. Richards, and M. Chaturvedi, Contribution of constitutional liquation of gamma prime precipitate to weld HAZ cracking of cast Inconel 738 superalloy. *Scripta materialia*, 2004. 50(5): p. 641-646.
- Hajjha, M., et al., Solidification microstructure, post-braze heat treatment, and stress rupture of wide gap brazed Inconel 738. *Welding in the World*, 2025: p. 1-18.
- Ola, O., O. Ojo, and M. Chaturvedi, Role of filler alloy composition on laser arc hybrid weldability of nickel-base IN738 superalloy. *Materials Science and Technology*, 2014. 30(12): p. 1461-1469.
- Anisi, A., E. Ranjbarodeh, and M. Cheraghzadeh, Filler Effects on Heat-Affected Zone Liquation Cracking in Rotationally Repaired Inconel 738LC Tungsten Inert Gas Welds: An Industrial Perspective. *Journal of Materials Engineering and Performance*, 2025: p. 1-14.
- Montazeri, M. and F. Ghaini, The liquation cracking behavior of IN738LC superalloy during low power Nd: YAG pulsed laser welding. *Materials characterization*, 2012. 67: p. 65-73.
- Lerda, S., et al., Role of the preheating temperature during electron beam powder bed fusion (PBF-EB/M) in precipitation of  $\gamma'$  and carbides in Inconel 738 superalloy. *Journal of Materials Research and Technology*, 2025.
- Subramani, P. and M. Manikandan, Development of gas tungsten arc welding using current pulsing technique to preclude chromium carbide precipitation in aerospace-grade alloy 80A. *International Journal of Minerals, Metallurgy, and Materials*, 2019. 26: p. 210-221.
- Anbarasan, N., et al., Effect of pulse frequency on microstructural and corrosion properties of inconel 718 gas tungsten arc weldments. *Transactions of the Indian Institute of Metals*, 2019. 72: p. 1299-1311.
- Liu, Y., et al., Comparative study on CCTIG welding and PCTIG welding of GH4169 under the same heat input. *Materials Science and Technology*, 2022. 38(17): p. 1451-1458.
- Han, K., et al., Effect of thermal compensation treatment on the microstructure and mechanical properties of IN738LC joint by electron beam welding. *Journal of Manufacturing Processes*, 2020. 58: p. 536-550.
- Montazeri, M., F.M. Ghaini, and O. Ojo, Heat input and the liquation cracking of laser welded IN738LC superalloy. *Weld. J.*, 2013. 92(9): p. 258s-264s.
- Salehi, R., A. Samadi, and M.K. Savadkoobi, Influence of etchants on quantitative/qualitative evaluations of the  $\gamma'$  precipitates in a nickel-base superalloy. *Metallography, Microstructure, and Analysis*, 2012. 1(6): p. 290-296.

از 751 مگاپاسکال در نمونه جریان ثابت ( $A_1$ ) به 811 مگاپاسکال در نمونه پالسی 20 هرتز ( $B_2$ ) افزایش یافت، معادل بهبود 9,6% همچنین کرنش کلی از 7,96% به 10,93% رسید. سختی فلز جوش نیز از 446 به 469 ویکرز افزایش یافت. به طور کلی، جوشکاری پالسی با فرکانس 20 هرتز بهترین عملکرد را در کاهش ترک خوردگی و ارتقای خواص مکانیکی نشان داد.



شکل 14- میکروسکوپ الکترونی در بزرگنمایی بیشتر،

الف - نمونه  $A_1$ ، ب - نمونه  $B_1$  و ج - نمونه  $B_2$ .

- the fusion zone and heat-affected zone microstructures in tungsten inert gas-welded INCONEL 738LC superalloy. *Metallurgical and materials transactions A*, 2006. 37: p. 421-433.
23. Lippold, J.C., *Welding metallurgy and weldability*. 2014: John Wiley & Sons.
24. Rahimi, A., M. Shamanian, and J.A. Szpunar, Effect of pulsed current frequency on microstructure and mechanical properties of Gas-Tungsten-Arc-Welded Joints of UNS R30155. *Journal of Materials Engineering and Performance*, 2020. 29: p. 2635-2647.
25. Sabzi, M., et al., The effect of pulse current changes in PCGTAW on microstructural evolution, drastic improvement in mechanical properties, and fracture mode of dissimilar welded joint of AISI 316L-AISI 310S stainless steels. *Materials Science and Engineering: A*, 2021. 823: p. 141700.
26. Ojo, O. and M. Chaturvedi, Liquation microfissuring in the weld heat-affected zone of an overaged precipitation-hardened nickel-base superalloy. *Metallurgical and Materials Transactions A*, 2007. 38: p. 356-369.
27. Ojo, O., N. Richards, and K. Vishwakarma, Heat-affected zone cracking in nickel-based superalloys and the role of minor elements, in *Welding and Joining of Aerospace Materials*. 2021, Elsevier. p. 199-228.
28. Guo, C., et al., Additive manufacturing of Ni-based superalloys: Residual stress, mechanisms of crack formation and strategies for crack inhibition. *Nano Materials Science*, 2023. 5(1): p. 53-77.
29. Golezani, A., M. Bageri, and R. Samadi, Microstructural change and impact toughness property of Inconel 738LC after 12years of service. *Engineering Failure Analysis*, 2016. 59: p. 624-629.
14. Abedi, H., O. Ojo, and X. Cao, Effect of cooling rate on precipitation behavior of gamma prime in a newly developed co-based superalloy. *Jom*, 2020. 72(11): p. 4054-4059.
15. Dezfuli, M.K., et al., Effect of pulsed current frequency on alloy chemistry, microstructure, and mechanical responses of Hastelloy B-2 superalloy in gas tungsten arc welding process. *Journal of Materials Research and Technology*, 2025.
16. Dezfuli, M.K., et al., Disclosing connection links between microstructure and mechanical performance in pulsating current gas tungsten arc welding of Hastelloy B-2 superalloy. *Journal of Advanced Joining Processes*, 2024. 10: p. 100237.
17. Ariasetta, A., J. Andersson, and O. Ojo, Heat-affected zone cracking in new 718-type superalloy VDM alloy 780: Effect of solution heat treatments and comparison with alloy 718. *Materials & Design*, 2025: p. 114733.
18. Ouahid, S., Investigation of microstructural changes and micro hardness of Nimonic 80A turbine blades after extended service and heat treatment. *Canadian Metallurgical Quarterly*, 2025: p. 1-15.
19. Hafezi, M., et al., On the high-temperature tensile deformation mechanisms of the IN738LC superalloy fabricated by laser powder bed fusion. *Materials Characterization*, 2025: p. 115510.
20. Wang, Y., et al., Abnormal yield behavior induced by cross-slip in polycrystalline superalloy K447A. *Materials Science and Engineering: A*, 2025: p. 149047.
21. Li, X.-L., et al., Temperature dependence of very high cycle fatigue behavior and life modeling for In713C Ni-based superalloy. *Journal of Materials Research and Technology*, 2025.
22. Ojo, O., N. Richards, and M. Chaturvedi, Study of